

УДК 532.529.5:532.132

© 2002 г. В.А. БАБКИН

**ИССЛЕДОВАНИЕ ОТНОСИТЕЛЬНЫХ ДВИЖЕНИЙ  
ВЯЗКОЙ ЖИДКОСТИ И ПОРИСТОЙ СРЕДЫ  
С ИСПОЛЬЗОВАНИЕМ УРАВНЕНИЯ БРИНКМАНА**

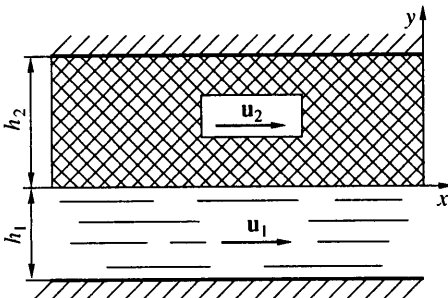
Получены точные решения трех задач, в которых использованы уравнения фильтрации Бринкмана: о ламинарном течении жидкости между параллельными плоскими стенками, одна из которых твердая, а другая – плоский слой насыщенной пористой среды; о движении плоского пористого слоя между параллельными слоями вязкой жидкости; о ламинарном течении жидкости в цилиндрическом канале, ограниченном кольцевом пористым слоем.

*Ключевые слова:* фильтрация, уравнение Бринкмана, плоские пористые слои, вязкая жидкость.

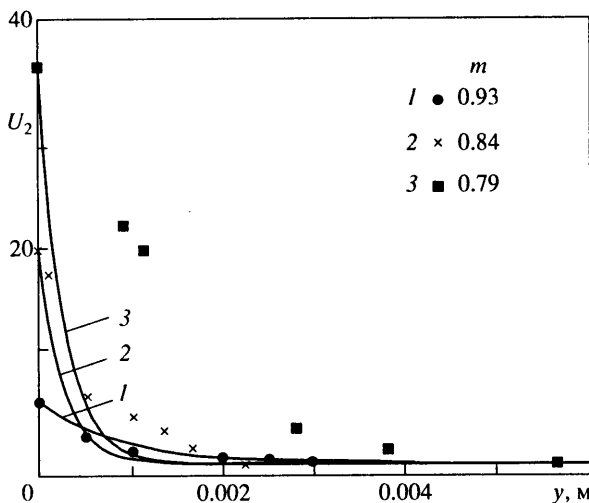
Ламинарные течения вязкой жидкости в областях, прилегающих к границе раздела потока жидкости и насыщенной пористой среды, длительное время привлекают внимание исследователей [1–5]. Для сред с большой пористостью в качестве определяющего уравнения обычно используется уравнение Бринкмана [6]. При постановке задач основные трудности возникают при формулировке граничных условий на поверхности, отделяющей поток жидкости от пористой среды. Один из вариантов граничных условий первоначально был предложен Биверсом и Джозефом [1], а затем независимо повторен Саффманом [2]. С помощью так называемого коэффициента проскальзывания они связали градиент скорости со стороны свободного потока жидкости со скоростью движения жидкости в пористой среде. Модельные представления Бринкмана, Биверса и Джозефа находят вполне удовлетворительное подтверждение в экспериментальных исследованиях [5]. Были предложены и иные граничные условия [4], но они требуют дополнительных обоснований.

Полученные к настоящему времени теоретические и экспериментальные результаты позволяют достаточно строго ставить и решать разнообразные задачи, в которых учитывалась бы также и фильтрация жидкости в пористой среде. В данной работе решаются следующие три задачи: о течении вязкой жидкости между твердой плоской стенкой и параллельным ей слоем насыщенной пористой среды; о движении плоского пористого слоя между параллельными ему слоями вязкой жидкости и о течении вязкой жидкости в круглой трубе, твердые стенки которой покрыты слоем насыщенной пористой среды. Во всех задачах течения установлены; жидкость вязкая, несжимаемая; пористая среда однородная; уравнения фильтрации – уравнения Бринкмана, массовые силы пренебрежимо малы. Граница раздела насыщенной пористой среды и вязкой жидкости рассматривается как поверхность разрыва и граничные условия на ней формулируются соответствующим образом [7]. Из полученных решений следует, что при определенных условиях граничное условие Биверса–Джозефа является следствием непрерывности касательных напряжений действующих по жидкой части границы, разделяющей поток и пористую среду. Решения некоторых задач сравниваются с результатами экспериментов.

**1. Вязкая жидкость между твердой стенкой и пористым слоем.** Пусть пространство между двумя бесконечными параллельными плоскими стенками занято слоем вязкой жидкости постоянной толщины  $h_1$  и слоем насыщенной пористой среды постоянной толщины  $h_2$  (фиг. 1). Стенки твердые. Введем декартову систему координат: ось  $x$  –



Фиг. 1. Схема течения вязкой жидкости между твердой стенкой и пористым слоем



Фиг. 2. Профили безразмерных скоростей фильтрации  $U_2$  в пористом слое, построенные по (1.7) (кривые 1–3) и экспериментальные точки [5] при течении вязкой жидкости между твердой стенкой и пористым слоем. Пористость  $m = 0.93; 0.86; 0.79$

в плоскости раздела слоев, ось  $y$  – по нормали к стенкам. В обоих слоях жидкость находится в движении под действием перепада давления, приложенного в направлении оси  $x$ . Пусть  $u_1$  – локальная скорость жидкости в слое  $(-h_1) < y < 0$  и  $u_2$  – локальная скорость фильтрации жидкости в слое  $0 < y < h_2$ . Под скоростью фильтрации понимается скорость движения жидкости, локально осредненная по объему пористой среды [7].

Учитывая симметрию течений жидкости в слоях, проекции скоростей отыскиваются в виде

$$u_{ix} = u_i(y), \quad u_{iy} = u_{iz} = 0, \quad i = 1, 2 \quad (1.1)$$

Уравнения жидкости в слоях соответственно имеют вид

$$\eta \frac{d^2 u_1}{dy^2} = -P, \quad P = -\frac{dp}{dy} \quad (1.2)$$

$$\eta' \frac{d^2 u_2}{dy^2} - \frac{\eta}{K} u_2 = -P \quad (1.3)$$

где  $p$  – давление,  $\eta$  – динамическая вязкость жидкости,  $\eta'$  – эффективная вязкость

жидкой фазы в пористой среде, которая используется для определения вязких напряжений в уравнении Бринкмана,  $K$  – коэффициент проницаемости Дарси.

Границные условия на твердых стенках:

$$u_1(-h_1) = u_2(h_2) = 0 \quad (1.4)$$

Рассматривая плоскость  $y = 0$ , разделяющую слои, как поверхность разрыва и пользуясь общими условиями на разрывах подобного типа [7], получим следующие граничные условия

$$u_1(0) = u_2(0), \quad \eta \frac{du_1(-0)}{dy} = \eta' \frac{du_2(+0)}{dy} \quad (1.5)$$

Производные скоростей  $u_1$  и  $u_2$  в точке  $y = 0$  односторонние.

Решения уравнений (1.2), (1.3) с граничными условиями (1.4) и (1.5) имеют вид

$$u_1 = -\frac{P}{2\eta} y^2 + C_1 y + C_2 \quad (1.6)$$

$$u_2 = u_f + B_1 \exp(s) + B_2 \exp(-s) \quad (1.7)$$

$$C_1 = \frac{2\alpha u_f}{\sqrt{K}} \left[ (1+a_-) \operatorname{ch} s_2 - \frac{1}{2D} \right], \quad C_2 = \alpha^2 s_1 u_f \left[ \frac{2(\operatorname{ch} s_2 - 1) + s_1 \operatorname{sh} s_2}{2D} \right]$$

$$B_1 = u_f [(1+a_-) \exp(-s_2) - 2a_+], \quad B_2 = u_f [2a_- - (1+a_-) \exp(s_2)]$$

$$u_f = \frac{PK}{\eta}, \quad s = \frac{y}{\alpha \sqrt{K}}, \quad s_i = \frac{h_i}{\alpha \sqrt{K}}, \quad \alpha^2 = \frac{\eta'}{\eta}, \quad a_{\pm} = \frac{1 \pm \alpha^2 s_1}{4D}$$

$$D = \operatorname{sh} s_2 + \alpha^2 s_1 \operatorname{ch} s_2, \quad i = 1, 2 \quad (1.8)$$

При  $s_2 \rightarrow +\infty$  формула (1.6) совпадает с решением Биверса–Джозефа [1].

Если формулы (1.6) – (1.8) подставить во второе граничное условие (1.5), то получим равенство

$$\frac{du_1(-0)}{dy} = \frac{\alpha u_f}{\sqrt{K}} \frac{(2 - \alpha^2 s_1^2) \operatorname{ch} s_2 - 2}{2D} \quad (1.9)$$

которое, на первый взгляд, лишь отдаленно напоминает граничное условие Биверса–Джозефа. Однако, если в нем перейти к пределу при  $s_2 \rightarrow +\infty$  и ввести скорость на границе  $u_b = u_i(0) = C_2$ , которую также взять при  $s_2 \rightarrow +\infty$ , то получится формула

$$\frac{du_1(-0)}{dy} = \frac{\alpha}{\sqrt{K}} (u_f - u_b) \quad (1.10)$$

в данной системе координат в точности совпадающая с граничным условием Биверса–Джозефа, и, таким образом, граничное условие Биверса–Джозефа является следствием второго граничного условия (1.5). Даже при большой пористости величина  $K$  весьма мала ( $\sim 10^{-10}\text{--}10^{-8} \text{ м}^2$  [5–7]), так что при  $\alpha \sim 10$  и  $h_2 \sim 0.01 \text{ м}$  имеем  $s_2 \sim 10\text{--}100$ . При использовании функций  $\exp(s)$ ,  $\operatorname{sh} s$  и  $\operatorname{ch} s$  такие значения  $s_2$  можно рассматривать как большие.

На фиг. 2 представлены экспериментальные точки [5] и профили безразмерной скорости  $U_2 = u_2/u_f$ , вычисленные по формуле (1.7) при тех же значениях параметров пористой среды. Параметры, использованные в расчетах, приведены в таблице. В соответствии с выводами [8] решение задачи с уравнением Бринкмана для пористой среды хорошо подтверждается опытами лишь при пористости  $m = 0.93$ . В этом случае влияние эффективной вязкости  $\eta'$  сказывается в слое толщиной  $\delta \approx 5 \text{ мм}$ . При уменьшении пористости толщина приграничного вязкого слоя  $\delta$  быстро убывает и в пористом слое устанавливается фильтрация по закону Дарси со скоростью  $u_f$ .

$m$	$K, \text{м}^2$	$\alpha$	$h_1, \text{м}$	$h_2, \text{м}$
0.93	$5.22 \cdot 10^{-8}$	3.910	0.01	0.02
0.86	$3.26 \cdot 10^{-8}$	1.480	0.01	0.02
0.79	$9.24 \cdot 10^{-9}$	1.485	0.01	0.02

Интегрированием профиля скоростей (1.5) в пределах от  $(-h_1)$  до 0 получается формула для объемного расхода  $Q$  на единицу ширины потока (без учета фильтрации)

$$Q = Q_0 \left[ 1 + \frac{3(2 \operatorname{ch} s_2 + s_1 \operatorname{sh} s_2 - 2)}{s_1 D} \right], \quad Q_0 = \frac{Ph_1^3}{12\eta} \quad (1.11)$$

Величина  $Q_0$  – расход при условии, что плоскость  $y = 0$  является твердой стенкой. Таким образом, второе слагаемое в квадратных скобках характеризует влияние пористого слоя на поток. Например, в случае [5] при  $m = 0.93$  имеем  $Q/Q_0 = 1.0205$ . Если  $s_2 \rightarrow +\infty$ , формула (1.11) совпадает с соответствующей формулой Биверса–Джозефа [1].

## 2. Пористый слой и вязкая жидкость между параллельными плоскими стенками.

Пусть между параллельными слоями вязкой жидкости постоянной толщины находится насыщенный пористый слой толщины  $2h_2$ . Слои жидкости ограничены параллельными плоскими стенками, расстояние между которыми  $2h_1$  (фиг. 3). Пористый слой и вязкая жидкость движутся под действием приложенного перепада давления. Стенки твердые, скелет пористого слоя жесткий. Требуется найти скорости жесткого скелета  $w$ , а также жидкости между твердыми стенками и пористым слоем  $u_1$  и жидкости в пористом слое  $u_2$ . Подобного рода задачи возникают при стержневых течениях волокнистой супензии [9, 10].

Не уменьшая по существу общности задачи, ограничимся случаем, когда слои жидкости и пористый слой симметричны относительно горизонтальной плоскости, расположенной на расстоянии  $h_1$  от стенок (фиг. 3). Система координат декартова: ось  $x$  в плоскости симметрии; ось  $y$  перпендикулярна стенкам.

Пусть перепад давления создан в направлении оси  $x$ . В пренебрежении массовыми силами проекции скоростей отыскиваются в виде (1.1). Уравнением движения в слоях является уравнение (1.2) и в пористой среде – уравнение (1.3), в котором скорость  $u_2$  заменена на относительную скорость  $(u_2 - w)$ .

Границные условия аналогичны условиям (1.5):

$$u_1(\pm h_1) = 0, \quad u_1(\pm h_2) = u_2(\pm h_2), \quad \eta \frac{du_1(\pm h_2)}{dy} = \eta' \frac{du_2(\pm h_2)}{dy} \quad (2.1)$$

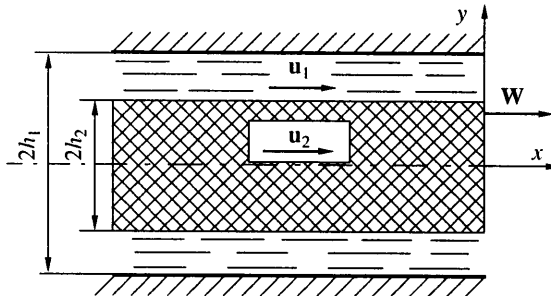
Решение поставленной задачи имеет вид

$$u_1(y) = \frac{P}{2\eta} (h_1^2 - y^2) \quad (2.2)$$

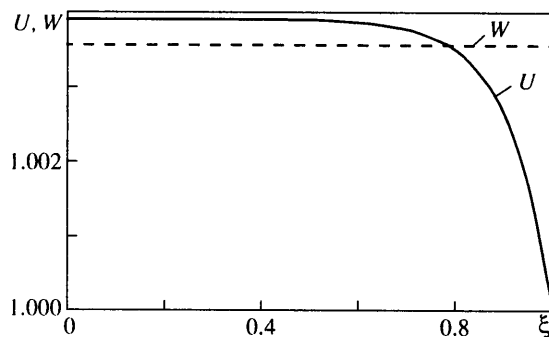
$$u_2(s) = u_f + w + (u_b - u_f - w) \frac{\operatorname{ch} s}{\operatorname{ch} s_2} \quad (2.3)$$

$$w = u_b - u_f + \frac{Ph_2 \sqrt{K}}{\alpha\eta} \frac{\operatorname{ch} s_2}{\operatorname{sh} s_2}, \quad u_b = \frac{P(h_1^2 - h_2^2)}{2\eta} \quad (2.4)$$

Величины  $\alpha$ ,  $s$ ,  $s_1$ ,  $s_2$  и  $u_f$  определены формулами (1.8).



Фиг. 3. Схема движения пористого слоя между слоями вязкой жидкости



Фиг. 4. Профили безразмерных скоростей жидкой фазы  $U$  (сплошная) и скелета  $W$  (штриховая) при движении пористого слоя между слоями вязкой жидкости ( $m = 0.93$ )

Подставляя решение (2.3) в третье граничное условие (2.1) при  $y = h_2$ , получим равенство

$$\frac{du_1(h_2 + 0)}{dy} = \frac{\alpha}{\sqrt{K}} (u_b - u_f - w) \operatorname{th} s_2 \quad (2.5)$$

которое с точностью до множителя  $\operatorname{th} s_2$  совпадает с граничным условием Биверса–Джозефа для пористой среды, движущейся со скоростью  $w$ . При  $s_2 \rightarrow +\infty$  множитель  $\operatorname{th} s_2 \rightarrow 1$  и формула (2.5) в точности переходит в условие Биверса–Джозефа. Аналогичное равенство получается и при  $y = -h_2$ .

Для оценки влияния пористости на течение жидкости воспользуемся данными [5] при пористости  $m = 0.93$  (см. п. 1), полагая  $h_1 = 2$  см и  $h_2 = 1$  см. На фиг. 4 представлены графики безразмерных скоростей  $U(\xi) = u_2(y)/u_b$  и  $W(\xi) = w/u_b$ , где  $\xi = y/h_2$ , в верхней половине пористого слоя  $0 \leq \xi \leq 1$ . В области  $0.786 < \xi \leq 1$  жидкость движется медленнее скелета, тогда как при  $0 \leq \xi < 0.786$  она, напротив, движется быстрее. Максимальная разность скоростей достигается на границе раздела фаз  $\xi = 1$ , но она невелика. В рассматриваемом примере разность скоростей не превосходит 0.4% от скорости скелета. Если разности скоростей такого порядка не играют существенной роли, то ими естественно можно пренебречь, что, например, и сделано в [9, 10].

**3. Круглая труба с пористым слоем.** Пусть на внутреннюю твердую стенку круглой трубы наложен концентрический пористый слой. Меньший радиус слоя  $a_1$ ,

больший –  $a_2$ . В свободном пространстве и в пористом слое под действием приложенного перепада давления движется вязкая несжимаемая жидкость. Найдем распределение скоростей жидкости в каждой из областей и объемный расход.

Система координат цилиндрическая: ось  $x$  – по оси трубы в сторону течения;  $r$  – расстояние от оси трубы по радиусу;  $\varphi$  – полярный угол.

Пусть  $u_1$  – скорость жидкости в точках области  $0 \leq r < a_1$  и  $u_2$  – локально определенная скорость в точках пористого слоя  $a_1 < r < a_2$ . В пренебрежении массовыми силами скорости отыскиваются в виде

$$u_{ix} = u_i(r), \quad u_{ir} = u_{i\varphi} = 0, \quad i = 1, 2 \quad (3.1)$$

Уравнения движения жидкости и граничные условия имеют вид

$$\eta \left( \frac{d^2 u_1}{dr^2} + \frac{1}{r} \frac{du_1}{dr} \right) = -P, \quad P = -\frac{\partial p}{\partial x} \quad (3.2)$$

$$\eta' \left( \frac{d^2 u_2}{dr^2} + \frac{1}{r} \frac{du_2}{dr} \right) - \frac{\eta}{K} u_2 = -P \quad (3.3)$$

$$u_1(a_1) = u_2(a_1), \quad u_2(a_2) = 0, \quad \eta \frac{du_1(a_1 - 0)}{dr} = \eta' \frac{du_2(a_1 + 0)}{dr} \quad (3.4)$$

Решение задачи имеет вид

$$u_1(r) = -\frac{Pr^2}{4\eta} + C \quad (3.5)$$

$$u_2(s) = u_f + B_1 I_0(s) + B_2 K_0(s) \quad (3.6)$$

$$C = u_f + B_1 I_0(s_1) + B_2 K_0(s_1) + \frac{Pa_1^2}{4\eta}$$

$$B_1 = -\left( \frac{1}{2} s_1 K_0(s_2) + K_1(s_1) \right) \frac{u_f}{D}, \quad B_2 = \left( \frac{1}{2} s_1 I_0(s_2) - I_1(s_1) \right) \frac{u_f}{D}$$

$$s = \frac{r}{\alpha\sqrt{K}}, \quad s_i = \frac{a_i}{\alpha\sqrt{K}}, \quad D = I_0(s_2)K_1(s_1) + I_1(s_1)K_0(s_2), \quad i = 1, 2$$

Здесь  $I_0(s)$ ,  $K_0(s)$ ,  $I_1(s)$ ,  $K_1(s)$  – модифицированные функции Бесселя первого рода нулевого и первого порядка,  $\alpha$  и  $u_f$  определены формулами (1.8).

Покажем, что подстановка решения (3.6) в третье граничное условие (3.4) при определенных условиях приводит к граничному условию Биверса–Джозефа. Переходим в решении (3.6) к пределу при  $s_2 \rightarrow +\infty$

$$u_2(s) = u_f \left( 1 + \frac{s_1}{2} \frac{K_0(s)}{K_1(s_1)} \right) \quad (3.7)$$

Вводя с помощью формулы (3.7) скорость жидкости  $u_b$  на границе сред по формуле  $u_b = u_2(s_1)$ , получим

$$u_2(s) = u_f + (u_b - u_f) \frac{K_0(s)}{K_0(s_1)} \quad (3.8)$$

Подстановка (3.8) в третье граничное условие (3.4) дает

$$\frac{du_1(a_1 - 0)}{dr} = (u_f - u_b) \frac{\alpha}{\sqrt{K}} \frac{K_1(s_1)}{K_0(s_1)} \quad (3.9)$$

При больших  $s_1$ , когда  $K_1(s_1)/K_0(s_1) \rightarrow 1$ , формула (3.9) переходит в граничное условие Биверса–Джозефа

$$\frac{du_1(a_1 - 0)}{dr} = \frac{\alpha}{\sqrt{K}} (u_f - u_b) \quad (3.10)$$

Предельное решение (3.7) удовлетворяет граничному условию  $u_2(+\infty) = u_f$ , но не заданному второму граничному условию (3.4). И все же, если решить задачу с этим условием, а также с первым условием (3.4) и условием Биверса–Джозефа (3.10), то получим решение

$$u_2(s) = u_f \left( 1 + \frac{s_1}{2} \frac{K_0(s)}{K_0(s_1)} \right) \quad (3.11)$$

которое не совпадает с решением (3.7), хотя если ввести скорость  $u_b$ , то формула (3.11) снова примет вид (3.8). Однако в этом случае нарушается условие непрерывности осредненных касательных напряжений (3.4). Действительно, из формул (3.5) и (3.11) следует

$$\frac{du_1(a_1)}{dr} = -\frac{Pa_1}{2\eta}, \quad \frac{du_2(a_1)}{dr} = -\frac{Pa_1}{2\alpha^2\eta} \frac{K_1(s_1)}{K_0(s_1)} \quad (3.12)$$

Третье условие (3.4), очевидно, будет выполняться только в случае, когда  $s_1 \rightarrow +\infty$ . Аналогичный результат получится, если условие на бесконечности заменить вторым граничным условием (3.4).

Ввиду громоздкости аналитических формул влияние пористости на расход  $Q$  оценим на конкретном примере. Пусть  $a_1 = 5$  мм,  $a_2 = 10$  мм, параметры пористой среды – по таблице при  $m = 0.93$ . Интегрирование профилей скоростей (3.5), (3.6) по сечению потока дает  $Q = 1.115 Q_0$  при учете фильтрации через пористый слой и  $Q = 1.110 Q_0$ , если фильтрация не учитывается. Здесь  $Q_0 = \pi a_1^4 P / 8\eta$  – расход через круглое сечение радиуса  $a_1$  трубы с твердыми стенками. Таким образом, большая пористость слоя может заметно сказаться на расходе.

**Заключение.** Сравнение решения задачи о течении вязкой жидкости между твердой стенкой и пористым слоем с экспериментальными результатами [5] показывает, что уравнение Бринкмана может быть использовано для описания фильтрации жидкости в высокопористых средах. Однако с уменьшением пористости оно приводит к заниженным по сравнению с экспериментальными данными значениям скорости фильтрации.

В рассмотренных задачах в качестве граничных условий на поверхности раздела вязкой жидкости и пористой среды использованы условия равенства скоростей и касательных напряжений. При определенных предположениях из равенства касательных напряжений следует граничное условие Биверса–Джозефа. Однако последнее не равносильно условию равенства касательных напряжений. Если из решений задач, полученных с использованием равенства касательных напряжений, следуют решения, полученные с условием Биверса–Джозефа, то обратное, вообще говоря, неверно. Более того, решения, полученные с этим условием, не обеспечивают необходимую из условий на скачке непрерывность касательных напряжений.

Разность скоростей скелета пористой среды и обтекающей ее вязкой жидкости (эффект проскальзывания) приводит к изменению профиля скоростей вязкой жидкости. При большой пористости стенок, ограничивающих поток, их влияние может оказаться достаточно ощутимым, и тогда решение задачи в точной постановке становится необходимым.

## СПИСОК ЛИТЕРАТУРЫ

1. *Beavers G.S., Joseph D.D.* Boundary conditions at a naturally permeable wall // J. Fluid Mech. 1967. V. 30, Pt 1. P. 197–207.
2. *Saffman P.G.* On the boundary condition at the surface of a porous medium // Stud. Appl. Math. 1971. V. 50, № 2. P. 93–101.
3. *Larson R.E., Higdon J.J.L.* Microscopic flow near the surface of two-dimensional porous media. Pt 2. Transverse flow // J. Fluid Mech. 1987. V. 178. P. 119–136.
4. *Vafai K., Kim S.J.* Fluid mechanics of the interface region between a porous medium and a fluid layer – an exact solution // Intern. J. Heat and Fluid Flow. 1990. V. 11. № 3. P. 254–256.
5. *Gupte S.K., Advani S.G.* Flow near the permeable boundary of a porous medium: An experimental investigation using LDA // Experim. Fluids. 1997. V. 22, № 5. P. 408–422.
6. *Brinkman H.C.* A calculation of viscous force exerted by flowing fluid on a dense swarm of particles // Appl. Scient. Res. Ser. A. 1947. V. 1. № 1. P. 27–34.
7. *Николаевский В.Н.* Геомеханика и флюидодинамика. М.: Недра, 1996. 447 с.
8. *Durlofsky L., Brady J.F.* Analysis of Brinkman equation as a model for flow in porous media // Phys. Fluids. 1987. V. 30. № 11. P. 3329–3341.
9. *Бабкин В.А.* Сопротивление при стержневом течении волокнистой суспензии в трубе // Изв. АН СССР. МЖГ. 1974. № 1. С. 88–93.
10. *Бабкин В.А.* Введение в механику волокнистых суспензий. Петрозаводск: Изд-во Петрозаводск. ун-та, 1993. 108 с.

Петрозаводск

Поступила в редакцию  
24.VIII.2001